

III-15 開水路の乱流特性

東大大学院 正員 日野幹雄

Total head tube 型の変動流速計をもついて、開水路乱流の測定を行い、Digital Computer (TAC; IBM 650) により、諸種の統計量を求めた。

まず、流速変動を電磁オシログラフにより記録(13sec)し、1/100 sec 毎の変動値を読みとり、自己相関係数 $R(\tau)$

$$R(\tau) = \lim_{T \rightarrow \infty} \int_0^T \frac{u(t)u(t+\tau)}{u(t)} dt$$

および、平均の渦の大きさ

$$L_x = U \int_0^\infty R(\tau) d\tau$$

を計算した。

また、エネルギーの過散に關係する最小の渦の大きさ入は、自己相関係数に $\tau=0$ で接する放物線が軸を切る点から 5

$$\frac{1}{\lambda^2} = -\frac{1}{2U^2} R''(0)$$

として求めるのが普通であるが、Total head tube は、一つの機械振動系であり、高周波数のレスポンス特性の信頼度が低いため、およびオシロの読み取り間隔を極めて小さくしなければならぬため、次の zero-counting 法によって求めた。乱流記録が単位時間あたりに中心軸を切る回数を N_0 、その時の平均流速を U とすれば、最小の渦の大きさ入は、

$$\lambda = \frac{U}{\pi N_0}$$

である。(二の方法で求めた入は、約 1 cm となり、断面全体でのエネルギーの平衡を考えれば、やゝ大きい。しかし、二つ求めた値は一応比例するものと考えることが出来る。)

自己相関係数の FOURIER 変換 (Filter の數値積分法) により、エネルギースペクトル

$$F(f) = 4 \int_0^\infty R(\tau) \cos 2\pi f \tau d\tau$$

を求めた。

これら 5 の測定結果から、次の諸關係が確かめられた。

① 亂れの強さ $\sqrt{u^2}/U_\infty$ は、水路底面の粗滑、流体の差異、Reynolds 数に無關係に、壁面から相対距離 y/h によって定まる。

② 亂れの諸統計量の間に、等方性乱流の場合と同様には次の關係が成り立つ。

$$\frac{\lambda^2 / U^2}{\nu L_x} = \text{const.}$$

③ 上の2つの関係とエネルギー・バランス ($0 < \gamma_f < 1$ ではエネルギー・プロダクションとエネルギーの逸散は、ほぼ等しく； $0.8 < \gamma_f \leq 1$ の範囲では、エネルギーの逸散はエネルギーの拡散とはほぼ平衡している—— J. Laufer : NACA R 1174 1954) を考慮すれば、平均の渦の大きさ L_x は

$$\frac{L_x}{h} = \begin{cases} A \frac{\frac{y}{h}}{1 - \frac{y}{h}} \left(\frac{U_\infty}{U_*} \right)^3 & (0 < \gamma_f < 0.5) \\ B \left(\frac{U_\infty}{U_*} \right)^3 & (0.8 < \gamma_f \leq 1) \end{cases}$$

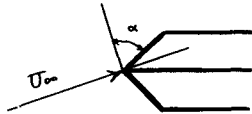
となり、壁からの距離 y/h による関係する3ことが証明される。上の関係は実験結果とかなり良い一致を示す。

④ エネルギー・スペクトルは (Reynolds 数が、30,000 ~ 50,000 の開水路流において) 同波数 10 cps 以上では、ほぼ y/h に無関係である。

なお、乱れの U, W 成分測定用の total head tube を試作した。これのピトー管部は、2本の細い円管を軸に 45° の角度で切り取って、この面が互に 90° をなす様にしたものである。

試作したピトー管の特徴は、Hを圧力水頭の変化、 α を図に示す角度として

$$H = \frac{U_\infty^2}{2g} (G - G_d \alpha^2)$$



で示される。この関係は、 α が $45^\circ \pm 25^\circ$ の範囲で成り立つ。従って、2つのピトー管の乱れによる圧力水頭の変化は

$$H = \left\{ \left[\frac{G}{g} - \frac{G_d \alpha^2}{16g} \right] U \pm \frac{G_d}{4g} V \right\} U$$

である。この total head tube を用いて、一回測定を行ったが、乱れの強さは、Laufer の測定に比べて 2 倍程度大きな値となった。おそらく、キャリブレーションの誤りであらうと思われる。他日を期したい。

以上の結果を応用して、開水路表面の拡散係数は

$$D_z = \text{const } C_f^{5/6} \left(1 - \frac{1}{K} \sqrt{\frac{C_f}{2}} \right)^{1/3} E^{1/3} L_a^{-4/3}$$

で示されることが示された。(ここで C_f は摩擦係数、E は単位体積あたりのエネルギー損失、 L_a は Lagrange の平均の渦の大きさである。) Orlob (Proc ASCE HY 9 1959) は、 $D_z = \text{const} E^{1/3} L_a^{1/3}$ が成り立つことを実験的に証明しているが、この const は、更に粗度や Reynolds 数に関係するわけである。

また、空気混入流の一つの必要条件として

$$1 + K_1 \frac{\rho g V_{\infty} \cos \theta}{T} \sqrt{\frac{h}{I}} + K_2 \frac{\rho g V^2}{T} h^{\frac{3}{4}} I^{\frac{1}{2}} < K_3 \frac{\rho g \frac{2}{7} I^{\frac{5}{2}}}{T} h^{\frac{5}{4}} I^{\frac{3}{2}}$$

を提案する。ここで K_1 は水深の形上関係し、 K_2 は空気混入流の状態の定義上関係する定数である。